

MODELAREA ȘI ANALIZA SECURITĂȚII REȚELELOR DE CALCULATOARE PRIN REȚELE PETRI MARKOVIENE FUZZY INTUIȚIONISTE CU JOCURI STOCASTICE

Emilian Guțuleac, dr. hab, prof.univ., Igor Calmîcov, drd, Sergiu Zaporozjan, dr., conf.univ., Ion Gîrleanu, drd
Universitatea Tehnică a Moldovei

INTRODUCERE

Actualmente, sistemele de calcul (SC) și rețelele de calculatoare (RC) cu arhitecturi orientate pe servicii în timp real cunosc o dezvoltare rapidă, atât sub aspectul complexității și/sau al calității aplicațiilor serviciilor caracterizate de indicatori QoS (Quality of Service), cât și al ariei de răspândire [6, 11, 17]. Acest tip de SC și RC trebuie să aibă o flexibilitate, disponibilitate și siguranță în funcționare (SF) deosebită.

RC prezintă vulnerabilități în ceea ce privește securitatea datelor și creează dificultăți în asigurarea serviciilor de securitate în fața multor tipuri de atacuri cum ar fi: interceptarea pasivă, interferența activă, personificarea, blackhole (gaura neagră), manipularea datelor și refuzul serviciului [7, 11, 17]. În acest context, apare necesitatea de a modela comportamentul atacatorilor și a evalua unii indicatori SF ai RC, care este capacitatea acestora de ași îndeplini misiunea, într-un interval de timp stabilit, în prezența atacurilor intrușilor.

Analiza cantitativă a SF a diferitor SC și RC a avut o mare atenție timp de mai multe decenii. Cu toate acestea cuantificarea securității informaționale a RC și a riscurilor de atac au atras doar recent mai multă atenție. Lucrări conceptuale bazate pe modele matematice serioase de evaluare a atacurilor și a mecanismelor de securitate au fost publicate doar recent [10, 11, 16, 19]. Metodele uzuale de modelare ale comportării atacatorilor și a evaluării riscului compromiterii SF al RC sunt arborii de defectare și de atac [17], teoria jocurilor matematice [19], lanțurile Markov timp continuu (LMTC) [16].

Abordarea prin LMTC poate fi folosită doar pentru modelarea unei clase restrânse a astfel de procese ce au un spațiu mic de stări, deoarece el poate fi construit numai în mod manual și deci, apar probleme cu validarea acestor tipuri de modele. În acest context, apare necesitatea de a automatiza procesul de construire al LMTC, luând în considerație astfel de fenomene cum ar fi: competiția, sincronizarea, situații de conflict, excludere mutuală, așteptare etc. [6, 7].

Modelarea și simularea vizuală prin rețele Petri generalizate stocastice (RPGS) markoviene [6, 12] și prin RPGS cu jocuri stocastice [7, 10] au devenit recent instrumente tot mai des utilizate în procesul decizional, atunci când este vorba de rezolvarea problemelor complexe de verificare funcțională și evaluare a SF a sistemelor informaționale, SC și a RC care implică factori de incertitudine și risc.

În cazul în care sunt utilizate RPGS, modelul de sistem va fi mult mai compact față de cel în formă de LMTC și acest fapt facilitează procesul de modelare concisă și analiză al acestuia. Un beneficiu suplimentar al abordării prin RPGS este faptul că putem folosi și alte tipuri de distribuții, decât cea exponential-negativă. Totodată, modelele RPGS pot fi ușor analizate, verificate și evaluate prin intermediul unor instrumente software, cum ar fi GreatSPN, TimeNET, PIPE, VPNP etc. [5, 15].

Metodele tradiționale de modelare și analiză a indicatorilor QoS la atac [11, 16] folosesc date referitoare la parametrii componentelor (ratele de defectare și de restabilire ale componentelor, ratele de atac și apărare etc.) care se presupune că sunt cunoscute cu anumită precizie și apoi validate prin experiențe reale. Însă, deseori, revenirea la experiențe, cu regret, este insuficientă pentru a valida cu precizia specificată a parametrilor de defectare, vulnerabilitate și atac. De asemenea, la modelarea și analiza indicatorilor QoS ai RC una dintre cele mai importante subiecte care trebuie luată în considerare este *incertitudinea*, legată de motivul pentru care parametrii modelului sunt, de obicei, sub forma unor parametri incerti. Deși abordarea cea mai frecvent folosită pentru reprezentarea incertitudinii la modelarea acestor tip de procese este efectuată prin modele markoviene, care se bazează pe procese stocastice, acest tip de modele nu totdeauna sunt bine potrivite pentru a descrie toate dimensiunile de incertitudine. Mai ales, imprecizia datelor, care este, de exemplu, rezultatul preciziei limitate de măsurare care nu are o natură statistică și deci, ea nu poate fi descrisă prin utilizarea modelelor probabilistice [7, 8, 9]. De asemenea, spre deosebire de defecțiuni, atacurile intrușilor nu întotdeauna pot fi bine caracterizate

prin modele de natură pur aleatorie, ceea ce reduce cunoștințele sistemului de securitate al RC despre riscul reușitei unui atac. De cele mai multe ori atacatorii acționează intenționat luând în considerare posibilele consecințe: satisfacție, profit sau statutul său față de efortul și riscul acțiunilor sale înainte de a acționa. Cu toate acestea, pentru a modela corect atacurile intenționate asupra unui SC sau a unei RC, orice model probabilistic trebuie să includă și comportamentul atacatorului. Acest aspect este unul dintre principalele provocări atunci când sunt utilizate tehnicile de modelare stocastică la cuantificarea securității RC. Argumentăm că comportamentul atacatorului trebuie să fie reprezentat ca o distribuție de probabilitate asupra posibilităților acțiuni de atac în fiecare stare a modelului și, de asemenea, pe o abordare bazată pe utilizarea numerelor fuzzy [2, 14, 18], pentru a reprezenta incertitudinea probabilităților de aflare în stările respective de atac ale RC.

În acest context, îmbinarea modelelor RPGS markoviene cu elemente ale teoriei *mulțimilor fuzzy intuiționiste* (MFI) [1] și ale teoriei jocurilor stocastice [10, 19], pentru a determina și estima unele strategii așteptate ale atacatorului, sunt mai bine potrivite la modelarea și analiza indicatorilor QoS ai RC, care includ astfel de aspecte probabilistice, incertitudini și imprecizii.

În această lucrare este prezentată o abordare de modelare și evaluare a riscului de atac SF care imbină utilizarea metodelor logicii fuzzy intuiționiste [1, 3, 13, 14] și a jocurilor matriceale stocastice cu modele RPGS. În baza îmbinării acestor paradigme este definită o nouă clasă de RPGS fuzzy intuiționiste cu jocuri stocastice, numite rețele RPJSFI, în baza cărora este efectuată modelarea comportamentului atacatorilor și analiza unor indicatori cantitativi QoS ai acestor tip de RC.

Avantajul îmbinării unor astfel de paradigme constă în faptul că modelele RPJSFI descriu mai nuanțat comportamentul așteptat al atacătorilor și al apărării sistemului de securitate al RC. De asemenea, acest tip de modele permit de a evalua indicatorii cantitativi QoS ai RC atacate, a estima riscul de pierderi așteptate, asociate cu diferite strategii de atac și apărare.

Abordarea propusă permite să fie luate în considerație parametrii fuzzy în aplicarea metodologiei SF la modelarea și evaluarea securității RC. Pentru a demonstra utilitatea acestei abordări în continuare este considerat un exemplu ilustrativ de modelare și analiză securității unei RC.

1. RPGS FUZZY INTUIȚIONISTE CU JOCURI STOCASTICE

1.1. Elemente de numere fuzzy intuiționiste

Teoria mulțimilor fuzzy și conceptele cu numere fuzzy [1, 3, 4, 13, 14, 18] au apărut din necesitatea de a exprima cantitativ mărimi imprecise, în care domeniul de valori pe care îl ia funcția de apartenență nu mai este limitată la două valori, ci se extinde la întreg intervalul $[0, 1]$. Însă, în lumea reală, există multe situații în care este necesar de a considera și gradul de ezitare la luarea deciziilor. Astfel de situații pot fi tratate prin MFI și numere fuzzy intuiționiste (NFI), introduse de Atanassov în [1] ca o generalizare a teoriei mulțimilor fuzzy în ceea ce privește gradul de *apartenență*, gradul de *non-apartenență* și gradul de *ezitare*. Acest grad de ezitare nu este altceva decât incertitudinea la luarea unei decizii de către un factor decizional. Teoria MFI are aplicații practice în diferite domenii unde apar fenomene de incertitudine [3, 13, 14].

În teoria MFI elementul x din universul X , mulțime nevidă, este asociat cu gradul de apartenență (numit *acceptare*) precum și gradul de non-apartenență (numit *respingere*), astfel încât suma lor aparține întotdeauna intervalului unitate $[0;1]$. Mulțimea fuzzy intuiționistă $\tilde{A} \subseteq X$ este expresia $\tilde{A} = \{ \langle x, \mu_{\tilde{A}}(x), \nu_{\tilde{A}}(x) \rangle : x \in X \}$, caracterizată prin funcțiile:

$$\mu_{\tilde{A}} : X \rightarrow [0, 1]; x \in X \rightarrow \mu_{\tilde{A}}(x) \in [0, 1] \text{ și } \nu_{\tilde{A}} : X \rightarrow [0, 1]; x \in X \rightarrow \nu_{\tilde{A}}(x) \in [0, 1],$$

unde valorile $\mu_{\tilde{A}}(x)$ și $\nu_{\tilde{A}}(x)$ sunt respectiv gradul de apartenență (*acceptare*), $x \in \tilde{A}$, și gradul de non-apartenență (*respingere*) al elementului x la \tilde{A} , $x \notin \tilde{A}$, astfel încât acestea, pentru $\forall x \in \tilde{A}$, satisfac condiția: $0 \leq \mu_{\tilde{A}}(x) + \nu_{\tilde{A}}(x) \leq 1$. Gradul de indeterminare (*ezitare*, *șovăire*) al apartenenței elementului x la \tilde{A} este redat de funcția:

$$\eta_{\tilde{A}}(x) = 1 - \mu_{\tilde{A}}(x) - \nu_{\tilde{A}}(x).$$

Cu cât valoarea lui $\mu_{\tilde{A}}(x)$ este mai apropiată de 1, cu atât x este mai puternică apartenența la \tilde{A} .

O submulțime \tilde{A} continuă a mulțimii numerelor reale \mathbb{R} este convexă dacă funcția $\mu_{\tilde{A}}(x)$ este fuzzy intuiționistă convexă, iar funcția $\nu_{\tilde{A}}(x)$ este fuzzy intuiționistă concavă, adică:

$$\mu_{\tilde{A}}(\iota \cdot x_1 + (1 - \iota)x_2) \geq \min(\mu_{\tilde{A}}(x_1), \mu_{\tilde{A}}(x_2)) \text{ și } \nu_{\tilde{A}}(\iota \cdot x_1 + (1 - \iota)x_2) \geq \max(\nu_{\tilde{A}}(x_1), \nu_{\tilde{A}}(x_2)), \\ \forall x_1, x_2 \in X, \quad 0 \leq \iota \leq 1.$$

O submulțime fuzzy intuiționistă \tilde{A} a mulțimii numerelor reale \mathbb{R} este un NFI dacă sunt satisfăcute următoarele proprietăți:

- (i) \tilde{A} este normală, adică există cel puțin un punct $x_0 \in X$ astfel încât $\mu_{\tilde{A}}(x_0) = 1$;
- (ii) \tilde{A} este fuzzy intuiționistă convexă;
- (iii) $\mu_{\tilde{A}}(x)$ (resp. $\nu_{\tilde{A}}(x)$) este superior (inferior) semicontinuu pe IR ;
- (iv) $A = \{x \in IR : \nu_{\tilde{A}}(x) < 1\}$ este mărginită.

Două tipuri de NFI sunt cel mai des întâlnite în aplicații [3, 13, 18]: NFI trapezoidale și cele triunghiulare. Utilizarea NFI triunghiulare (NFIT) este mai indicată, un motiv fiind și acela al volumului de calcul. Astfel, un NFIT al \tilde{A} cu parametrii $a'_1 \leq a_1 \leq a_2 \leq a_3 \leq a'_3$ este o submulțime a MFI în mulțimea numerelor reale IR pentru care:

$$\mu_{\tilde{A}}(x) = \begin{cases} (x - a_1)/(a_2 - a_1), & a_1 \leq x \leq a_2 \\ (a_3 - x)/(a_3 - a_2), & a_2 \leq x \leq a_3 \\ 0, & \text{altfel} \end{cases}$$

$$\nu_{\tilde{A}}(x) = \begin{cases} (a_2 - x)/(a_2 - a'_1), & a'_1 \leq x \leq a_2 \\ (x - a_2)/(a'_3 - a_2), & a_2 \leq x \leq a'_3 \\ 1, & \text{altfel} \end{cases}$$

În literatura cu aplicații NFIT ale \tilde{A} , acestea sunt reprezentate ca: $\tilde{A} = [a_2; (a_1, a_3); (a'_1, a'_3)]$ sau prin așa numite (α, β) - tăieturi (eng. (α, β) -cuts), notate $[\tilde{A}^\alpha; \tilde{A}^\beta]$, cu $\tilde{A}^\alpha \cap \tilde{A}^\beta = \emptyset$, unde $\tilde{A}^\alpha = \{x \in X : \mu_{\tilde{A}}(x) \geq \alpha\}$ și $\tilde{A}^\beta = \{x \in X : \nu_{\tilde{A}}(x) \leq \beta\}$ pentru orice $\alpha \in (0, 1]$ și $\beta \in (0, 1]$, astfel încât este verificată relația: $0 \leq \alpha + \beta \leq 1$. Pentru reda un NFIT deseori sunt folosite următoarele expresii:

$$\tilde{A}^\alpha = [a_1 + \alpha(a_2 - a_1), a_3 - \alpha(a_3 - a_2)] \text{ și}$$

$$\tilde{A}^\beta = [a_2 - \beta(a_2 - a'_1), a_2 + \beta(a'_3 - a_2)].$$

În Fig. 1 este dat un exemplu de prezentare grafică a unor NFIT cu $\alpha = \beta = 0.5$.

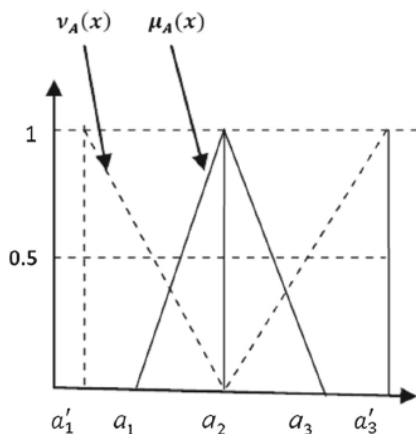


Figura 1. Reprezentarea grafică a NFIT cu o tăietură $\alpha = \beta = 0.5$.

De exemplu, fie $\tilde{\lambda}_1 = [5; (3, 7); (1.5, 8)]$ este un NFIT. Redarea acestuia prin (α, β) - tăieturi este: $\tilde{\lambda}_1 = [\tilde{\lambda}_1^\alpha; \tilde{\lambda}_1^\beta] = [(3 + 2\alpha, 7 - 2\alpha); (5 - 3.5\beta, 5 + 3\beta)]$.

În această lucrare vom folosi NFIT care vor fi redade și prelucrate prin $(\alpha + \beta)$ - tăieturi, deoarece ele permit de a descrie într-un cadru unificator evaluarea și analiza indicatorilor cantitativi QoS ai RC studiată.

1.2. Elemente de teoria jocurilor

Teoria jocurilor matematice (JM) oferă o gamă de instrumente care pot fi utilizate eficient la modelarea interacțiunii dintre nodurile independente ale RC și atacatorii acestuia [7, 10 16, 19]. Metoda JM se bazează conceptul de recompensă, care are în vedere efectul de succes al atacurilor, precum și costul posibil de detectare, atunci când se calculează strategia așteptată a atacatorului. Într-un JM, jucătorii sunt factorii de decizii interdependente ale căror câștig depinde de acțiunile altor jucători cum ar fi atacatorii și sistemul de securitate al RC. Îndată ce asupra unei RC a fost inițiat un atac, atacatorul, în urma analizei vulnerabilității acesteia, are adesea posibilitatea de a alege între mai multe acțiuni atomice de atac. De asemenea, el poate decide de a întrerupe un atac în curs de desfășurare într-o anumită stare sau să îl continue. O acțiune de atac poate fi considerată de succes, în cazul în care această acțiune produce o transformare nedorită a stării curente a RC.

Pentru a include aceste aspecte în probabilitățile de tranziție între stările posibile ale modelului RPGS al atacatorului RC, este necesar să fie analizate toate opțiunile pe care un atacator le are în fiecare alte stări. Vom presupune că în fiecare stare $s_k, k = 1, \dots, n_s$ un atacator poate lua n_{s_k} acțiuni de atac prin alegerea uneia dintre posibile acțiuni atomice de atac $a_i^k, i = 1, \dots, n_{s_k} - 1$. Dacă prin acțiunea a_i^k atacatorul reușește, el va primi o recompensă $\rho(a_i^k)$ asociată cu acest atac particular. În cazul în care el va eșua recompensa nu va fi obținută, însă dacă această acțiune este detectată, atacatorul va fi penalizat de costurile asociate cu ea. Atacatorul poate întrerupe atacul în curs de desfășurare prin acțiunea $a_{n_{s_k}}^k$. Prin această opțiune el va fi penalizat de un cost, mărimea căruia depinde de faptul cât de departe a decurs atacul și de probabilitatea că atacul ar fi rămas nedetectat, dacă el ar fi ales să continue.

Fie că în starea s_k jucătorul A (atacătorul) aplică acțiunile a_i^k , iar jucătorul D (apărarea)

aplică acțiunile d_j^k , iar matricea de plăți al jocului este $\hat{\rho}^k = (\rho_{i,j}^k)$, $i, j = 1, \dots, n_{sk}$, $k = 1, \dots, n_s$, unde elementul $\rho_{i,j}^k$ reprezintă câștigul jucătorului A în cazul în care el folosește acțiunea a_i^k , iar jucătorul D modul de acțiune d_j^k . În acest joc J_A^k jucătorii A și D au ca strategie mixtă vectorii de probabilitate respectivi:

$$\begin{aligned} \bar{q}_A^k &= (q_A(a_1^k), \dots, q_A(a_{n_{sk}}^k)), \\ \bar{q}_D^k &= (q_D(d_1^k), \dots, q_D(d_{n_{sk}}^k)). \end{aligned}$$

Scopul atacatorului este de a maximiza câștigurile sale prin adoptarea anumitor strategii de atac $q_A(a_i^k)$, pe când sistemul va adopta strategia de apărare respectivă $q_D(d_j^k)$ pentru a minimiza pagubele sale în urma acestui atac. Astfel, câștigul mediu așteptat de către atacator este exprimat de următoarea expresie [18]:

$$U^1 = \max_{a_j^k} \min_{d_j^k} \sum_{\forall a_i^k \in A} \sum_{\forall d_j^k \in D} q_A(a_i^k) \cdot q_D(d_j^k) \cdot \rho_{i,j}^k.$$

În această lucrare, pentru a descrie strategiile de atacuri, vom introduce jocuri stocastice în modele RPGS cu parametri NFIT.

1.3. Definierea și regulile funcționării RPJSFI

La studierea SF a diferitor tipuri de SC și RC, cunoștințele despre valorile parametrilor de defecare ale componentelor, ale ratelor de atac, ale riscurile de vulnerabilitate, etc. sunt, în general, mărimi imperfecte [2, 5, 7, 9, 13, 14]. Incertitudinea mărimilor reale ale parametrilor specificați poate avea două origini. Prima sursă de incertitudine provine din caracterul aleatoriu de informații care are o variabilitate naturală stocastică. A doua sursă de incertitudine, de evaluare epistemică a riscului de atac este legată de caracterul imprecis și incomplet al informațiilor din cauza lipsei de cunoștințe despre mărimile reale ale parametrilor vulnerabilității RC și ai atacatorilor ce își schimbă în mod dinamic stările lor. Deci, pentru a modela în mod mai realist incertitudinea comportamentului atacatorilor și reacția de apărare a sistemului de securitate RC, este necesar de a lua în considerare atât aspectele probabilistice, cât și cele fuzzy [1, 3]. Cum s-a menționat, acest fapt poate fi realizat prin definirea unei noi extensii de RPGS în care unele atribute cantitative pot avea mărimi fuzzy intuiționiste cu jocuri matriceale stocastice, în baza cărora sunt determinate probabilitățile fuzzy intuiționiste de aflare în stările respective ale acestui tip de model și a efectua analiza indicatorilor QoS aplicațiilor de calcul orientate pe servicii.

În acest context, vom prezenta unele definiții de bază necesare pentru înțelegerea abordării date.

Definiția 1. O rețea Petri generalizată (RPG) [6], notată Γ , este o structură redată de un 10-tuplu de obiecte: $\Gamma = \langle P, T, Pre, Post, Test, Inh, K_p, Pri, G, M_0 \rangle$, unde: P este mulțimea nevidă de locații, $|P| = k$. Locațiile pot să conțină un număr întreg nenegativ de jetoane; T este mulțimea nevidă de tranziții, $|T| = n$ și $P \cap T = \emptyset$; $Pre, Test$ și $Inh: P \times T \times IN^{|P|} \rightarrow IN$ sunt, respectiv, funcții de incidență înainte ale arcelor cu o cardinalitate marcaj-dependentă: Pre este funcția de incidență înainte la tranziții, $Test$ este funcția promotor, iar Inh este funcția de inhibiție a tranzițiilor; $Post: T \times P \times IN^{|P|} \rightarrow IN$ este funcția de incidență înapoi la tranziții; $K_p: P \times IN^{|P|} \rightarrow IN$ este funcția de capacitate a locațiilor; $Pri: T \times IN^{|P|} \rightarrow IN$ este funcția de prioritate dinamică a declanșării tranzițiilor validate de marcajul curent; $G: T \times IN^{|P|} \rightarrow \{true, false\}$ este o funcție de gardă a tranzițiilor; M_0 este marcajul inițial; IN este mulțimea numerelor întregi nenegative.

Regulile de funcționare ale rețelelor RPG tip Γ și metodele de analiză ale proprietăților comportamentale ale acestora sunt descrise detaliat în [6].

Definiția 2. O rețea RPG markoviană fuzzy intuiționistă cu jocuri stocastice, denumită RPJSFI, este sistemul redat de 9-tuplul de obiecte $\tilde{\Gamma} = \langle \Gamma, w, \hat{N}, \hat{q}, \hat{\rho}, \tilde{\Lambda}, \mu_\lambda, \nu_\lambda, U \rangle$, unde: Γ este o RPG temporizată stocastic în care mulțimea finită de tranziții este partiționată astfel încât: $T = T^0 \cup T^\tau$, $T^0 \cap T^\tau = \emptyset$, iar $Pr i(T^0) > Pr i(T^\tau)$ este prioritatea de declanșare a tranzițiilor validate. Aici T^0 este mulțimea tranzițiilor imediate (grafic sunt reprezentate prin bare subțiri) cu o durată de declanșare nulă, iar T^τ este mulțimea tranzițiilor temporizate (grafic sunt reprezentate prin dreptunghiuri negre) cu o durată aleatorie de declanșare ce are o distribuție exponențial-negativă; Funcția de pondere $w(t, M)$ ce determină probabilitatea de declanșare $q(t, M)$ a tranziției imediate validate $t \in T_0(M)$ de către marcajul curent M , care descrie un selector probabilistic este $w: T_0 \times IN^{|P|} \rightarrow IR^+$; IR^+ este mulțimea mărimilor reale nenegative; $\hat{N} = \{1, 2, \dots, \hat{n}\}$ denotă mulțimea de jucători; La rândul său mulțimea T^0 este partiționată astfel încât $T^0 = (\bigcup_{l=1}^{\hat{n}} T_l^0) \cup T_{\hat{n}+1}^0$, $(\bigcap_{l=1}^{\hat{n}} T_l^0) \cap T_{\hat{n}+1}^0 = \emptyset$. Fiecare submulțime T_l^0 , $l = 1, \dots, \hat{n}$ este asociată cu jucătorul l și $T_{\hat{n}+1}^0$ este restul tranzițiilor imediate;

$\hat{q}: T^0 \rightarrow [0, 1]$ este politica de decizie a unui jucător, reprezentată prin probabilitatea de a alege o tranziție imediată particulară; $\hat{\rho}: T^0 \rightarrow (\hat{\rho}_1, \hat{\rho}_2, \dots, \hat{\rho}_n)$ este funcția de *recompensă* (eng. *reward*) a jucătorilor, unde $\hat{\rho}_i \in (-\infty, +\infty)$ primește valori din reale IR ; $\tilde{\Lambda}: T^r \times IN_+^{|P|} \rightarrow IR^+$ este funcția ce determină rata fuzzy intuiționistă $0 < \tilde{\lambda}(t, M) < +\infty$ de declanșare a tranziției temporizate validate $t \in T^r(M)$ în marcajul curent M , adică parametrul legii exponențial-negative; $\mu_\lambda: \tilde{\Lambda} \rightarrow [0, 1]$ și $\nu_\lambda: \tilde{\Lambda} \rightarrow [0, 1]$ respectiv sunt funcțiile gradului de *apartenență* și non *apartenență* al lui $\tilde{\lambda}(t, M)$ la mulțimea fuzzy $\tilde{\Lambda}$ care determină valorile NFI ale ratelor de declanșare ale tranzițiilor temporizate. U este funcția de *câștig* a jucătorilor.

Analiza modelelor RPJSFI prin abordarea propusă în această lucrare este efectuată în două etape. Prima etapă este aceeași ca și cea convențională de modelare prin RPGS și analiza acestora [6, 7]. Unica diferență este aceea că distribuția probabilităților staționare de stare ale RPGS este obținută parametric utilizând LMTC generat de RPGS. Cu alte cuvinte, fiecare probabilitate staționară de stare π_i este descrisă în termenii ratelor nefuzificate de declanșare ale tranzițiilor, adică în funcție de λ_i , ca mărimi certe, care reflectă numai natura stocastică a proceselor sistemului modelat. În a doua etapă ratele de declanșare ale tranzițiilor sunt reprezentate prin mărimi ce sunt NFI $\tilde{\lambda}_i = (\tilde{\lambda}_i^\alpha; \tilde{\lambda}_i^\beta)$ care depind de contextul de identificare, de exemplu, cel prezentat de experți.

După înlocuirea mărimilor numerice fuzzy ale $\tilde{\lambda}_i$, folosind teoria de calcul fuzzy, obținem (α, β) - tăieturi [18] ale probabilităților staționare de stare fuzzy $\tilde{\pi}_i(\alpha, \beta)$ ale LMTC subiacent RPJSFI. În conformitate cu lucrările [7, 8, 18] vom folosi aritmetica intervalelor cu (α, β) - tăieturi pentru a calcula funcțiile variabilelor fuzzy intuiționiste, în baza cărora putem obține mai multe informații decât prin utilizarea principiului de prelungire [1]. Pentru a putea găsi (α, β) - tăieturi fezabile ale $\tilde{\pi}_i(\alpha, \beta)$ poate apărea necesitatea de a rezolva și o problemă de optimizare, care face ca soluția să fie fezabilă [8].

În continuare, cu scopul de a arăta utilitatea utilizării abordării prezentate în această lucrare, vom considera un exemplu simplu (similar cu cel din [16]). Din cauza limitărilor de spațiu, acest

exemplu este extrem de abstract, însă el ilustrează elocvent abordarea propusă.

2. STUDIU DE CAZ PRIN RPJSFI

În acest context, vom considera o mică rețea de calculatoare (RC1), ilustrată în Fig. 2, care constă dintr-o stație de lucru (*workstation*), un *webserver* public și un *fileserver* privat.

Vom presupune că pe parcursul funcționării sale sistemul de securitate al RC dispune de mecanisme suficiente de detectare ale intruziunilor cu un comportament suspicios și de restabilire a componentelor compromise. De asemenea, vom presupune că, odată ce un atacator a luat controlul asupra oricărei dintre posibilele obiective, probabilitățile atacurilor reușite împotriva țintelor rămase vor crește.

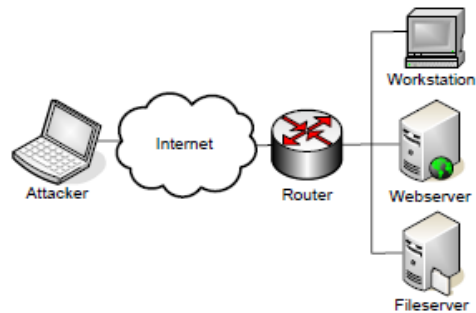


Figura 2. Topologia rețelei de calculatoare RC1 atacată, similară cu cea din [16].

A acțiunile a_i ale atacatorului acestei RC sunt: $A = \{a_1, a_2, a_3, \emptyset\}$, unde $a_1 = \text{"atac workstation"}$, $a_2 = \text{"atac webserver"}$, $a_3 = \text{"atac fileserver"}$ și $a_4 = \text{"nu atacă"}$. De asemenea, vom presupune că prioritățile atacatorului, recompensele și costurile acțiunilor sale sunt în prealabil determinate. Odată ce atacul a reușit printr-una dintre țintele sale, atacatorul se va concentra doar pe obiective cu o prioritate mai mare.

În Fig. 3 este prezentat modelul RPGS1, subiacentă RPJSFI1, care descrie comportamentul atacatorului. În acest model ratele de atac, de compromitere a RC1 și a remedierii ei sunt NFI, iar acțiunile de atac sunt redade de tranziții imediate.

Semnificația locațiilor și a tranzițiilor RPGS1 din Fig. 3 pentru partea modelului atacator este:

- *locații*: p_1 - starea în care RC funcționează în mod corect, intrusul nu atacă; p_2 - intrusul alege acțiunea de atac; p_3, p_4 și p_5 - intrusul atacă RC1 prin acțiunea respectivă a_1, a_2 și a_3 ; p_6 - workstation atacată este compromisă; p_7 - fileserver-ul

fiind compromis, intrusul continue atacul prin acțiunile a_2 și a_3 ; p_8 - webserver-ul fiind compromis, intrusul continue atacul prin acțiunea a_3 ; p_9 - atacul webserver-ului este depistat, administratorul RC începe restabilirea lui;

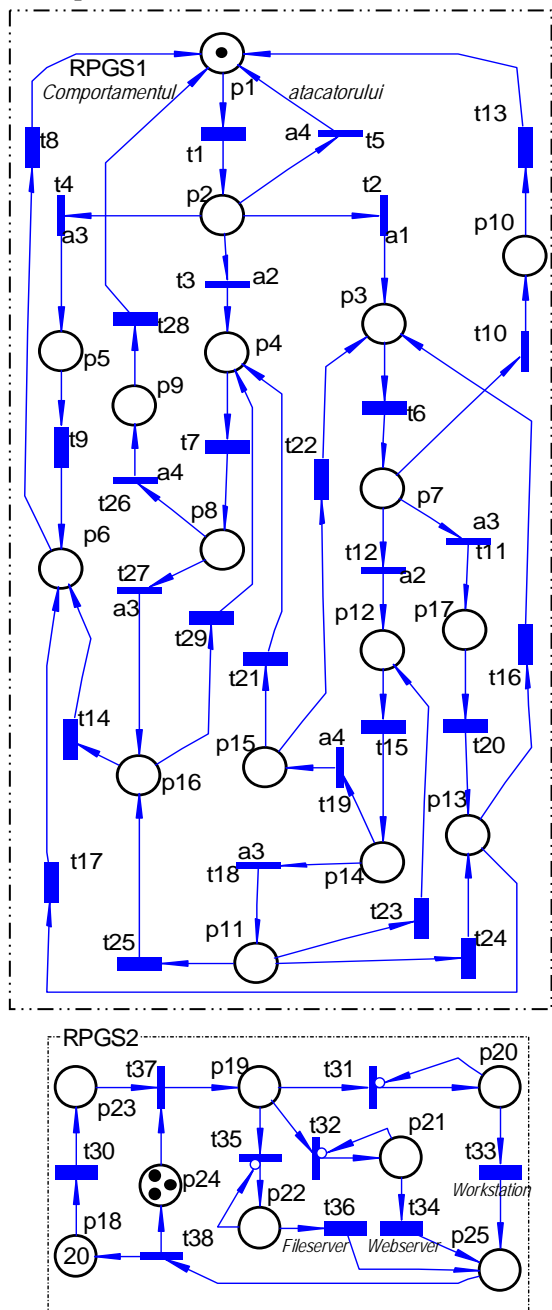


Figura 3. Modelul de rețea RSGS1 și RSGS2 subiacente RPJSFI1 al RC1 atacată.

p_{10} - atacul workstation este depistat, administratorul RC1 începe restabilirea acesteia; p_{11} - starea în care workstation, webserver-ul și fileserver-ul sunt toate compromise; p_{12} - workstation și webserver-ul sunt compromise; p_{13} - workstation și fileserver-ul sunt compromise; p_{14} -

alegerea acțiunii de atac a_3 , deja fiind compromise workstation și webserver-ul; p_{15} - intrusul nu atacă, este declanșată restabilirea workstation și a webserver-ului; p_{16} - este declanșată restabilirea fileserver-ului și a webserver-ului. p_{17} - workstation și fileserver-ul sunt compromise.

- tranziții temporizate: t_1 - atacul RC1 de către intrus; t_6 - atacul reușit al workstation; t_7 - atacul reușit al webserver-ului; t_8 - restabilirea fileserver-ului compromis; t_9 - atacul reușit al fileserver-ului; t_{13} - restabilirea workstation compromisă din starea p_{10} ; t_{14} - restabilirea webserver-ului compromis; t_{15} - atacul și compromiterea webserver-ului; t_{16} - restabilirea fileserver compromis din starea p_{13} ; t_{17} - restabilirea workstation compromisă în starea p_{13} ; t_{20} - atacul și compromiterea fileserver din starea p_{17} ; t_{21} și t_{22} - restabilirea respectivă a workstation și webserver, compromise în starea p_{15} ; t_{23}, t_{24} și t_{25} - restabilirea respectivă a webserver, fileserver și workstation, compromise în starea p_{11} ; t_{28} - restabilirea workstation compromisă în starea p_9 ; $t_{29} - t_{28}$ - restabilirea workstation compromisă în starea p_{16} .

- tranziții imediate: t_2, t_3, t_4 și t_5 - acțiunile respective de atac a_1, a_2, a_3 și a_4 ; t_{10}, t_{11} și t_{12} - acțiunile respective de atac a_2, a_3 și a_4 după compromiterea workstation din starea p_3 ; t_{18} și t_{19} - acțiunile respective de atac a_3 și a_4 după compromiterea webserver-ului din starea p_{14} ; t_{26} și t_{27} - acțiunile respective de atac a_4 și a_3 după compromiterea workstation din starea p_{16} .

Semnificația locațiilor și a tranzițiilor RSGS2 din Fig. 3 pentru partea modelului RC1 atacată este:

- locații: p_{18} - pachete ce trebuie procesate; p_{18} - selectarea tipului de procesare; p_{20} - pachet în curs de procesare de către workstation; p_{21} - pachet în curs de procesare de către webserver; p_{22} - pachet în curs de procesare de către fileserver; p_{23} - fir de așteptare a pachetelor; p_{24} - număr de servere libere; p_{25} - pachet deja procesat.

- *tranziții imediate*: t_{31}, t_{32} și t_{35} - selectarea modului de procesare a unui pachet; t_{37} - alocarea unui server liber; t_{38} - eliberarea serverelor.

- *tranziții temporizate*: t_{30} - sosirea pachetelor în rețea; t_{33}, t_{34} și t_{36} - procesarea pachetelor de către serverele respective. Aceste tranziții au funcții de gardă, care depind de stările respective ale RPGS1: $g(t_{33}) = (m_3 = 0) \& (m_{11} = 0) \& (m_{12} = 0) \& (m_{13} = 0)$, $g(t_{34}) = (m_4 = 0) \& (m_{11} = 0) \& (m_{12} = 0) \& (m_{16} = 0)$, $g(t_{36}) = (m_5 = 0) \& (m_{11} = 0) \& (m_{16} = 0) \& (m_{13} = 0)$, unde $m_i = M(p_i)$ este marcajul curent al lui p_i . Apariția unui jeton în aceste locații indică la faptul că serverul respectiv este compromis, atacul a reușit, pachetele nu pot fi procesate și se va declanșa procedura de restabilire a acestui server.

Modelul RPJSFI1 a fost validat, folosind produsul program instrumental VPNP [5] de simulare vizuală, verificare și evaluare a indicatorilor QoS ale modelelor tip RPSG.

Graful redus de marcaje accesibile, în formă de listă simbolică, al modelului RPGS1 care descrie comportamentul părții atacatorului RC1 este:

M0 = [p1] [t1t2>M1, t1t3>M2, t1t4>M3;
M1 = [p3] [t6t10>M5, t6,t11>M6, t6t12>M7;
M2 = [p4] [t7t26>M8, t7t27>M9; **M3** = [p5] [t9>M4;
M4 = [p6] [t8>M0; **M5** = [p10] [t13>M0;
M6 = [p17] [t20>M10;
M7 = [p12] [t15t18>M11, t15t19>M12;
M8 = [p9] [t28>M0; **M9** = [p16] [t14>M4, t29>M2;
M10 = [p13] [t16>M1, t17>M4;
M11 = [p11] [t23>M7, t24>M10, t25>M9;
M12 = [p15] [t21>M2, t22>M1;

Analiza proprietăților comportamentale ale RPGS1 arată că ea este *mărginită*, *viabilă* și *reinițializabilă* [6, 12]. Deci, LMTC1 care descrie funcționarea ei este ergodic [12], iar sistemul de ecuații ce descrie funcționarea modelului RPGS1 în regim staționar este:

$$\begin{aligned} \lambda_1 \pi_0 &= \lambda_8 \pi_4 + \lambda_{13} \pi_5 + \lambda_{28} \pi_8, \quad \lambda_9 \pi_3 = \lambda_1 q_4 \pi_0 \\ \lambda_6 \pi_1 &= \lambda_1 q_2 \pi_0 + \lambda_{16} \pi_{10} + \lambda_{22} \pi_{12}, \\ \lambda_7 \pi_2 &= \lambda_1 q_3 \pi_0 + \lambda_{29} \pi_9 + \lambda_{21} \pi_{12}, \\ \lambda_8 \pi_4 &= \lambda_9 \pi_3 + \lambda_{14} \pi_9 + \lambda_{17} \pi_{10}, \\ \lambda_{13} \pi_5 &= \lambda_6 q_{10} \pi_1, \quad \lambda_{20} \pi_6 = \lambda_6 q_{11} \pi_1, \quad (1) \\ \lambda_{15} \pi_7 &= \lambda_6 q_{12} \pi_1 + \lambda_{23} \pi_{11}, \quad \lambda_{28} \pi_8 = \lambda_7 q_{26} \pi_2, \\ (\lambda_{14} + \lambda_{29}) \pi_9 &= \lambda_7 q_{27} \pi_2 + \lambda_{25} \pi_{11}, \\ (\lambda_{16} + \lambda_{17}) \pi_{10} &= \lambda_{20} \pi_6 + \lambda_{24} \pi_{11}, \\ (\lambda_{23} + \lambda_{24} + \lambda_{25}) \pi_{11} &= \lambda_{15} q_{18} \pi_7, \\ (\lambda_{21} + \lambda_{22}) \pi_{12} &= \lambda_{15} q_{19} \pi_2, \quad 1 = \sum_{i=0}^{12} \pi_i, \end{aligned}$$

unde λ_j sunt ratele de declanșare cu valori certe ale tranzițiilor temporizate, iar q_i sunt probabilitățile de declanșare cu valori certe ale tranzițiilor imediate care redau alegerea acțiunilor de atac ale jocurilor stocastice respective.

După obținerea probabilităților staționare de stare π_i , exprimate parametric în termeni ai ratelor de declanșare ale tranzițiilor, acestea apoi sunt reprezentate ca NFIT. Intervalele aritmetice al acestor NFIT sunt redade prin metoda de (α, β) -tăieturi, bazată pe folosirea operatorilor *max* și *min* care pot produce intervale mai mari. Menționăm că $\alpha = 0$ și $\beta = 1$ reprezintă cel mai mare interval de probabilitate pe când pentru $\alpha = 1$ și $\beta = 0$ obținem probabilitățile de stare certe ale LMTC1. Teoretic, (α^*, β^*) -tăietură a unui NFI oferă cel mai mare interval posibil de valori. Din moment ce ne dorim să fie calculate probabilitățile $\tilde{\pi}_i = [\pi_i^\alpha, \pi_i^\beta]$, cel mai mare interval posibil al acestora este limitat la intervalul $\tilde{\pi}_i \in [0, 1]$, $i = 0, 1, 2, \dots, N$, unde $N+1$ este numărul de stări al LMTC1. Problema este de a găsi o astfel de (α^*, β^*) -tăietură optimală, care va satisface această condiție și ea poate fi găsită rezolvând următoarea problema de optimizare $\alpha = \alpha^*$ și $\beta = \beta^*$ [8] pentru ca soluția sistemului de ecuații (1) să fie fezabilă și pentru NFIT $\tilde{\pi}_i$:

$$\text{Min}(Z) = \alpha$$

cu restricțiile: $\pi_i^+(\alpha) \leq 1$; $\pi_i^-(\alpha) \geq 0$;

$$0 \leq \alpha \leq 1; \pi_i^-(\alpha) \leq \pi_i^+(\alpha),$$

$$\text{și } \text{Max}(Z) = \beta$$

cu restricțiile: $\pi_i^-(\beta) \leq 1$; $\pi_i^+(\beta) \geq 0$;

$$0 \leq \beta \leq 1; \pi_i^-(\beta) \geq \pi_i^+(\beta).$$

3. ANALIZA NUMERICĂ A QoS

În această secțiune, vom evalua indicatorii de securitate și de performanță ai RC1 atacată, definiți în continuare prin calcularea probabilităților $\tilde{\pi}_i(\alpha, \beta)$ ale LMTC1, subiacent RPGS1 și ale LMTC2 al RPGS2.

3.1. Analiza confidențialității

În mod similar cu [7], unii indicatorii SF de securitate sunt considerați ca fiind *confidențialitatea costurilor de securitate* și *productivitatea* ale RC, care sunt funcții de probabilitățile NFI $\tilde{\pi}_i(\alpha, \beta)$, $i = 0, 1, \dots, n_s$. Aceste probabilități NFI pot fi interp-

retate ca proporția duratei de timp în care LMTC1 se află în starea M_i . În cazul în care atacul are succes, atacatorul poate naviga în mod neautorizat prin fișierele RC1. Astfel, în modelul RPGS1 marcajul M_0 denotă starea de aflare a RC1 în bună funcționare, adică componentele ei nu sunt atacate. Celelalte marcaje indică la faptul că RC1 este atacată și unele componente ale acesteia sunt compromise. Prin urmare, indicatorul QoS de confidențialitate al RC1 în regim staționar, funcție de α și β , este calculat în baza expresiei:

$$\tilde{\pi}_{Conf.}(\alpha, \beta) = \tilde{\pi}_0(\alpha, \beta). \quad (2)$$

În acest context, vom considera un exemplu numeric de evaluare și analiză a acestui indicator pentru următoarele valori NFI $\hat{\lambda}_i = \tilde{\lambda}_i \cdot 10^4 \text{ sec}^{-1}$ ale ratelor de declanșare ale tranzițiilor temporizate respective cu $\tilde{\lambda}_i = [\tilde{\lambda}_i^\alpha; \tilde{\lambda}_i^\beta]$:

$$\begin{aligned} \tilde{\lambda}_1 &= [(0.1 + 0.9\alpha), (1.1 - 0.1\alpha); (1 - 0.95\beta), (1 + 0.2\beta)], \\ \tilde{\lambda}_6 &= \tilde{\lambda}_9 = \tilde{\lambda}_{15} = [(3 + \alpha, 5 - \alpha); (4 - 2\beta, 4 + 2\beta)], \\ \tilde{\lambda}_7 &= \tilde{\lambda}_{20} = [(2 + \alpha, 4 - \alpha); (3 - 2\beta, 3 + 2\beta)], \quad (3) \\ \tilde{\lambda}_8 &= \tilde{\lambda}_{16} = \tilde{\lambda}_{23} = \tilde{\lambda}_{29} = [(3 + \alpha, 5 - \alpha); (4 - 2\beta, 4 + 2\beta)], \\ \tilde{\lambda}_{13} &= \tilde{\lambda}_{17} = \tilde{\lambda}_{21} = \tilde{\lambda}_{25} = [(7 + \alpha, 9 - \alpha); (8 - 2\beta, 8 + 2\beta)], \\ \tilde{\lambda}_{14} &= \tilde{\lambda}_{22} = \tilde{\lambda}_{24} = \tilde{\lambda}_{28} = [(5 + \alpha, 7 - \alpha); (6 - 2\beta, 6 + 2\beta)]. \end{aligned}$$

În modelul RPSFII1 avem patru jocuri stocastice $J_A^i(p_i)$, redate de locațiile p_i cu tranzițiile imediate respective, incidente înapoi la p_i , $t_j \in p_i^\bullet$ și anume: $J_A^1(p_2)$, $J_A^2(p_7)$, $J_A^3(p_8)$ și $J_A^4(p_{14})$.

Matricea de plăți $\hat{\rho}_A^{J^1}(p_2)$ a jocului $J_A^1(p_2)$ este:

$$\hat{\rho}_A^{J^1}(p_2) = \begin{matrix} & d_1 & d_2 & d_3 & d_4 \\ \begin{matrix} a_1 \\ a_2 \\ a_3 \\ a_4 \end{matrix} & \begin{bmatrix} 20 & 30 & 50 & 20 \\ 40 & 10 & 20 & 50 \\ 30 & 50 & 40 & 20 \\ 10 & 30 & 30 & 40 \end{bmatrix} \end{matrix},$$

Pentru jocul $J_A^1(p_2)$ obținem strategiile:

$$\bar{q}_{J^1}^1(a_i) = (0.061, 0.388, 0.510, 0.041),$$

$$\bar{q}_{J^1}^2(d_j) = (0.082, 0.143, 0.367, 0.408).$$

Câștigul acestui joc este: $U_{J^1} = 32.45$.

Pentru jocul $J_A^2(p_7)$ cu matricea de plăți:

$$\hat{\rho}_{A_{J^2}}(p_7) = \begin{matrix} & d_2 & d_3 & d_4 \\ \begin{matrix} a_2 \\ a_3 \\ a_4 \end{matrix} & \begin{bmatrix} 40 & 20 & 50 \\ 35 & 40 & 20 \\ 25 & 30 & 40 \end{bmatrix} \end{matrix}$$

obținem strategiile:

$$\bar{q}_{J^2}^1(a_i) = (0.200, 0.467, 0.333),$$

$$\bar{q}_{J^1}^2(d_j) = (0.133, 0.533, 0.333),$$

câștigul cărora este: $U_{J^2} = 32.67$.

În același mod pentru jocurile $J_A^3(p_8)$ și $J_A^4(p_{14})$ cu matricea de plăți $\hat{\rho}_{A_{J^3}}(p_7) = \hat{\rho}_{A_{J^4}}(p_{14})$, elementele cărora sunt:

$$\rho_{3,3} = 40, \rho_{3,4} = 20, \rho_{4,3} = 30, \rho_{4,4} = 40,$$

obținem strategiile:

$$\bar{q}_{J^3}^1(a_i) = \bar{q}_{J^4}^1(a_i) = (0.333, 0.667),$$

$$\bar{q}_{J^3}^2(d_j) = \bar{q}_{J^4}^2(d_j) = (0.667, 0.333)$$

cu câștigul: $U_{J^3} = U_{J^4} = 33.33$.

Substituind în sistemul de ecuații (1) mărimile numerice redate de expresiile (3) și a strategiilor jocurilor astfel definite, obținem soluțiile acestui sistem de ecuații pentru intervalele respective stânga și dreapta:

$$\tilde{\lambda}_i^\alpha = (\tilde{\lambda}_i^{\alpha-}, \tilde{\lambda}_i^{\alpha+}), \quad \tilde{\lambda}_i^\beta = (\tilde{\lambda}_i^{\beta-}, \tilde{\lambda}_i^{\beta+}).$$

Analiza detaliată a acestor soluții pentru valorile NFIT prezentate de expresiile (2) ale acestui exemplu arată că sunt verificate relațiile:

$$\forall \alpha \in [0, 1], 0 < \pi_i^-(\alpha) \leq \pi_i^+(\alpha) < 1 \text{ și } \forall \beta \in [0, 1],$$

$$0 < \pi_i^-(\beta) \leq \pi_i^+(\beta) < 1, \quad i = 0, 1, \dots, 12.$$

De asemenea, această analiză arată că nivelul de confidențialitate al RC1 este sub formă de NFIT și valorile lui (pentru datele considerate de expresiile (3)) se află, cu un anumit grad de certitudine, în intervalul $[0.526317, 0.661832]$, adică $\tilde{\pi}_{Conf.}(\alpha, \beta) = [\tilde{\pi}_0(\alpha); \tilde{\pi}_0(\beta)]$, unde:

$$\tilde{\pi}_0(\alpha) = (0.526317 + 0.073083 \alpha,$$

$$0.661832 - 0.062432 \alpha);$$

$$\pi_0(\beta) = (0.5994 - 0.184248\beta, 0.5994 + 0.091008\beta).$$

Pentru aceste valori NFIT, gradul de apartenență (certitudine) $\mu_{\tilde{\pi}_0}(x)$ la $\tilde{\pi}_{Conf.}(\alpha, \beta)$ al RC1 este:

$$- \mu_{\tilde{\pi}_0}(x) = (x - 0.526317) / 0.073083 \text{ pentru } 0.52637 \leq x \leq 0.599400,$$

$$- \mu_{\tilde{\pi}_0}(x) = (0.661832 - x) / 0.062432 \text{ pentru } 0.599400 \leq x \leq 0.661832,$$

$$- \text{altfel } \mu_{\tilde{\pi}_0}(x) = 0.$$

De asemenea, gradul de non-apartenență (incertitudine) $\nu_{\tilde{\pi}_0}(x)$ la $\tilde{\pi}_{Conf.}(\alpha, \beta)$ al RC1 este:

$$- \nu_{\tilde{\pi}_0}(x) = (0.599400 - x) / 0.184248 \text{ pentru } 0.415152 \leq x \leq 0.599400,$$

$$- \nu_{\tilde{\pi}_0}(x) = (x - 0.599400) / 0.091008 \text{ pentru } 0.599400 \leq x \leq 0.690408,$$

$$- \text{altfel } \nu_{\tilde{\pi}_0}(x) = 0.$$

Gradul de ezitare $\eta_{\tilde{\pi}_0}(x)$ la intervalul respectiv al confidențialității RC1 este calculat în conformitate cu expresia:

$$\eta_{\tilde{\pi}_0}(x) = 1 - \mu_{\tilde{\pi}_0}(x) - \nu_{\tilde{\pi}_0}(x).$$

În Fig. 4 sunt prezentate graficele respective ale gradului de certitudine, incertitudine și ezitare, notate respectiv $\mu\pi 0$, $\nu\pi 0$ și $\eta\pi 0$, ale confidențialității RC1 funcție de $\tilde{\pi}_0(\alpha, \beta)$.

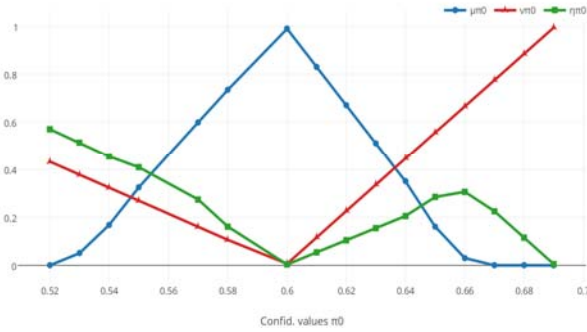


Figura 4. Graficele gradelor de certitudine, incertitudine și ezitare ale confidențialității RC1.

2.3. Evaluarea productivității serverelor

Pentru a evalua influența coruperii sistemului de securitate, ca rezultat reușit al atacului, asupra productivității serverelor RC1 vom presupune că durata totală de viață a acestuia este $\bar{\tau}$. Deoarece firul de așteptare în p_{23} este stabil limitat, numărul mediu de pachete $E[\tilde{\lambda}_{RC1}^{z_i}]$ deservite de către serverul respectiv al RC1 trebuie să fie:

$$E[\tilde{\lambda}_{RC1}^{z_1}] = \lambda_{33} \cdot \tilde{\pi}_x \cdot \bar{\tau}, \quad E[\tilde{\lambda}_{RC1}^{z_2}] = \lambda_{34} \cdot \tilde{\pi}_y \cdot \bar{\tau},$$

$$E[\tilde{\lambda}_{RC1}^{z_3}] = \lambda_{36} \cdot \tilde{\pi}_z \cdot \bar{\tau}, \quad \text{unde:}$$

$$\tilde{\pi}_x = 1 - (\tilde{\pi}_1 + \tilde{\pi}_7 + \tilde{\pi}_{10} + \tilde{\pi}_{11}),$$

$$\tilde{\pi}_y = 1 - (\tilde{\pi}_2 + \tilde{\pi}_7 + \tilde{\pi}_9 + \tilde{\pi}_{11}),$$

$$\tilde{\pi}_z = 1 - (\tilde{\pi}_3 + \tilde{\pi}_9 + \tilde{\pi}_{10} + \tilde{\pi}_{11}).$$

Aici $\tilde{\pi}_x$, $\tilde{\pi}_y$ și $\tilde{\pi}_z$ denotă respectiv probabilitățile că workstation, webserver-ul și filesaver-ul nu sunt compromise, iar λ_{33} , λ_{34} și λ_{35} sunt ratele respective de prelucrare a pachetelor de către aceste servere.

Pentru $\lambda_{30} < (\lambda_{33} + \lambda_{34} + \lambda_{36})$, numărul total de lucrări deservite în acest mod este $E[\tilde{\lambda}_{RC}]$. În stările nesecurizate toate pachetele expediate la servere nu mai sunt sigure și deci ele vor fi anulate, deoarece acestea nu contribuie la evaluarea productivității sistemului. Astfel, în această stare, productivitatea sistemului este determinată doar de

lucrările executate de RC1 la nivel local. Prin urmare, conform legii Little relativ la sistemele de așteptare [6, 12] obținem următoarea relație care determină productivitatea (engl. Throughput) RC1:

$$\tilde{\lambda}_{Thr.}^{z_1} = E[\tilde{\lambda}_{RC1}^{z_1}] / \bar{\tau} = \lambda_{33} \cdot \tilde{\pi}_x,$$

$$\tilde{\lambda}_{Thr.}^{z_2} = E[\tilde{\lambda}_{RC1}^{z_2}] / \bar{\tau} = \lambda_{34} \cdot \tilde{\pi}_y,$$

$$\tilde{\lambda}_{Thr.}^{z_3} = E[\tilde{\lambda}_{RC1}^{z_3}] / \bar{\tau} = \lambda_{36} \cdot \tilde{\pi}_z.$$

Analiza acestor indicatori QoS arată că productivitățile serverelor RC1 sunt mărimi ce au forma reprezentată de NFIT, iar valorile lor concrete (pentru datele considerate de expresiile (3)) sunt determinate de intervale respective de certitudine și incertitudine, funcție de (α, β) -tăieturi:

$$\tilde{\pi}_x(\alpha) = (0.87915 + 0.02537\alpha, 0.91097 - 0.00645\alpha),$$

$$\tilde{\pi}_y(\alpha) = (0.89159 + 0.03015\alpha, 0.93294 - 0.0112\alpha),$$

$$\tilde{\pi}_z(\alpha) = (0.90933 + 0.03461\alpha, 0.96776 - 0.02382\alpha),$$

$$\tilde{\pi}_x(\beta) = (0.90452 - 0.08761\beta, 0.90452 + 0.07814\beta),$$

$$\tilde{\pi}_y(\beta) = (0.92174 - 0.14028\beta, 0.92174 + 0.04376\beta),$$

$$\tilde{\pi}_z(\beta) = (0.94394 - 0.17465\beta, 0.94394 + 0.03654\beta).$$

Pentru aceste valori NFIT putem determina în mod respectiv: gradul de apartenență, gradul de non-apartenență și gradul de ezitare la aceste intervale redade prin NFIT.

În Fig. 5 sunt prezentate graficele respective de apartenență și non-apartenență la $\tilde{\pi}_x$, care indică probabilitatea că atacul workstation RC1 nu a reușit.

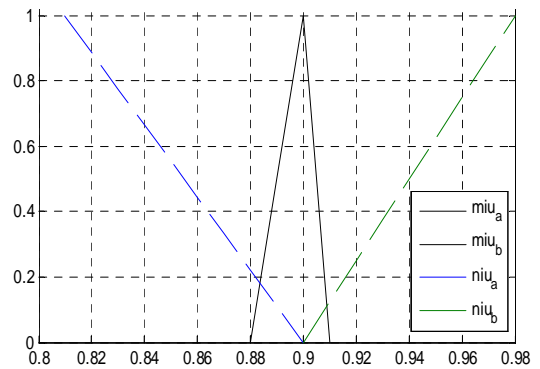


Figura 5. Graficele gradelor de apartenență și non-apartenență la intervalul de probabilitate $\tilde{\pi}_x$.

În mod similar pot fi determinați acești indicatori ai $\tilde{\pi}_y$ și $\tilde{\pi}_z$ pentru a evalua productivitățile serverelor RC1 respectivi.

3. CONCLUZII

În lucrare este propusă o abordare unificatoare de modelare, evaluare și analiză a indicatorilor

cantitativi QoS la riscul de atac al intrușilor rețelelor de calculatoare (RC), bazată pe îmbinarea metodelor RPGS cu rate de declanșare ale tranzițiilor care sunt numere fuzzy intuiționiste și a jocurilor matriceale stocastice. În baza acestor paradigme este definită o nouă clasă de RPGS fuzzy intuiționiste cu jocuri stocastice, numite RPJSFI. Acest tip de modele permit de a descrie mai nuanțat comportamentul așteptat al atacatorilor și al sistemului de securitate RC cu parametri fuzzy intuiționisti care permit de a obține rezultate mai realiste ale indicatorilor QoS specificați. În acest context, este prezentat și analizat numeric un model concret de RPJSFI care descrie comportarea atacatorului și a reacției sistemului de securitate al unei RC1 cu specificarea jocurilor stocastice și a ratelor de declanșare a tranzițiilor ce sunt NFIT nuanțate intuiționist.

Extinderea analizei prin includerea în acest tip de modele a unui protocol reconfigurabil de restabilire a serverelor atacate va fi efectuată pe viitor. Un alt obiectiv este de a dezvolta și a integra în mediul de simulare vizuală VPNP un subsistem ce va automatiza procesul de verificare și analiză a indicatorilor QoS ai modelelor de tipul RPJSFI.

Lucrarea dată a fost efectuată în cadrul Proiectului Național de Cercetări Științifice Aplicative 15.817.02.28A din Republica Moldova.

Bibliografie

- Atanassov K. T.** Intuitionistic fuzzy sets. *Fuzzy Sets and Systems*, vol. 20, pp. 87-96, 1986.
- Augustin T., Miranda E., Vejnarova J.** Imprecise probability models and their applications. *International Journal of Approximate Reasoning*, 50(4), pp. 581 – 582, 2009.
- Costa C. G., Benjamin Bedregal C., Doria Neto A. D.** Intuitionistic Fuzzy Probability. A.C. da Rocha Costa, R.M. Vicari, F. Tonidandel (Eds.): *SBIA 2010, LNAI 6404*, 2010. Springer-Verlag Heidelberg, pp. 273–282, 2010.
- Ding Z., Shen H.** Applying Fuzzy Differential Equations to the Performance Analysis of Service Composition. D.-S. Huang et al. (Eds.): *ICIC 2010, LNCS 6215*, Springer-Verlag, pp. 118–125, 2010.
- Guțuleac E., Boșneaga C., Reilean A.** VPNP-Software tool for modeling and performance evaluation using generalized stochastic Petri nets. In *Proc. of the 6-th International Conference on D&AS-2002*, Suceava, România, pp. 243-248, 2002.
- Guțuleac E.** Evaluarea performanțelor sistemelor de calcul prin rețele Petri stocastice. Editura „Tehnica-Info”, Chișinău, 2004, - 276 p.
- Guțuleac E., Zaporozjan S., Țurcanu Iu., Gîrleanu I.** Analiza QoS a sistemelor Ad-hoc cu dispozitive de calcul orientate pe servicii prin rețele Petri stocastice fuzzy. *Meridian Ingineresc*. 3, pp. 36-45, 2016.
- Kahraman C., Tüysüz F.** Manufacturing System Modeling Using Petri Nets. In: C. Kahraman & M. Yavuz (Eds.): *Prod. Engr. & Manage., STUD-FUZZ 252*, Springer-Verlag, pp. 95–124, 2010.
- Liu F., Heiner M., Yang M.** Fuzzy Stochastic Petri Nets for Modeling Biological Systems with Uncertain Kinetic Parameters. *PLoS ONE* 11(2): e0149674, pp. 1-19, 2016. DOI:10.1371/journal.pone.0149674.
- Lin C., Wang Y Z., Wang Y.** A Stochastic Game Nets Based Approach for Network Security Analysis. In *Proceedings of the 29th International Conference on Application and Theory of Petri Nets and other Models of Concurrency*, pp.21-33, 2008.
- Murata T.** Petri Nets: Properties, Analysis and Applications. *Proceedings of the IEEE*, vol.77, no.4, pp.541-580, 1989.
- Nagoorganil A., Ponnalagu K.** An approach to solve intuitionistic fuzzy linear programming problem using single step algorithm. *International Journal of Pure and Applied Mathematics*, Volume 86 No. 5, pp. 819-832, 2013.
- Nayagam V. L. G., Sivaraman G.** Modified ranking of intuitionistic fuzzy numbers. *Notes on intuitionistic fuzzy Sets*, vol.17, pp. 5-22, 2011.
- Petri Nets Tools Database Quick Overview.** <https://www.informatik.uni-hamburg.de/TGI/PetriNets/tools/quick.html>
- Sallhammar K., Helvik B. E., Knapskog S. J.** On stochastic modelling for integrated security and dependability evaluation. *The Journal of Networks*, Vol. 1, Issue 5, 2006, p. 31 – 42.
- Tao M., Shan H.** An improved method of the attack tree model for mobile Ad Hoc networks Research. *Computer Applications and Software*, Vol. 26, Issue 4, pp. 271 – 273, 2009.
- Thamotharan S.** A Study on Multi Server Fuzzy Queuing Model in Triangular and Trapezoidal Fuzzy Numbers Using α – Cuts. *International Journal of Science and Research (IJSR)*, Volume 5 Issue 1, pp. 226-230, 2016.
- Zhuo W., Lin C., Chen X.** Quantitative analysis method of network attack and defense based on stochastic game model. *Journal of Computers*, Vol. 9, pp. 1748 – 1762, 2010.

Recomandat spre publicare: 19.01.2017.